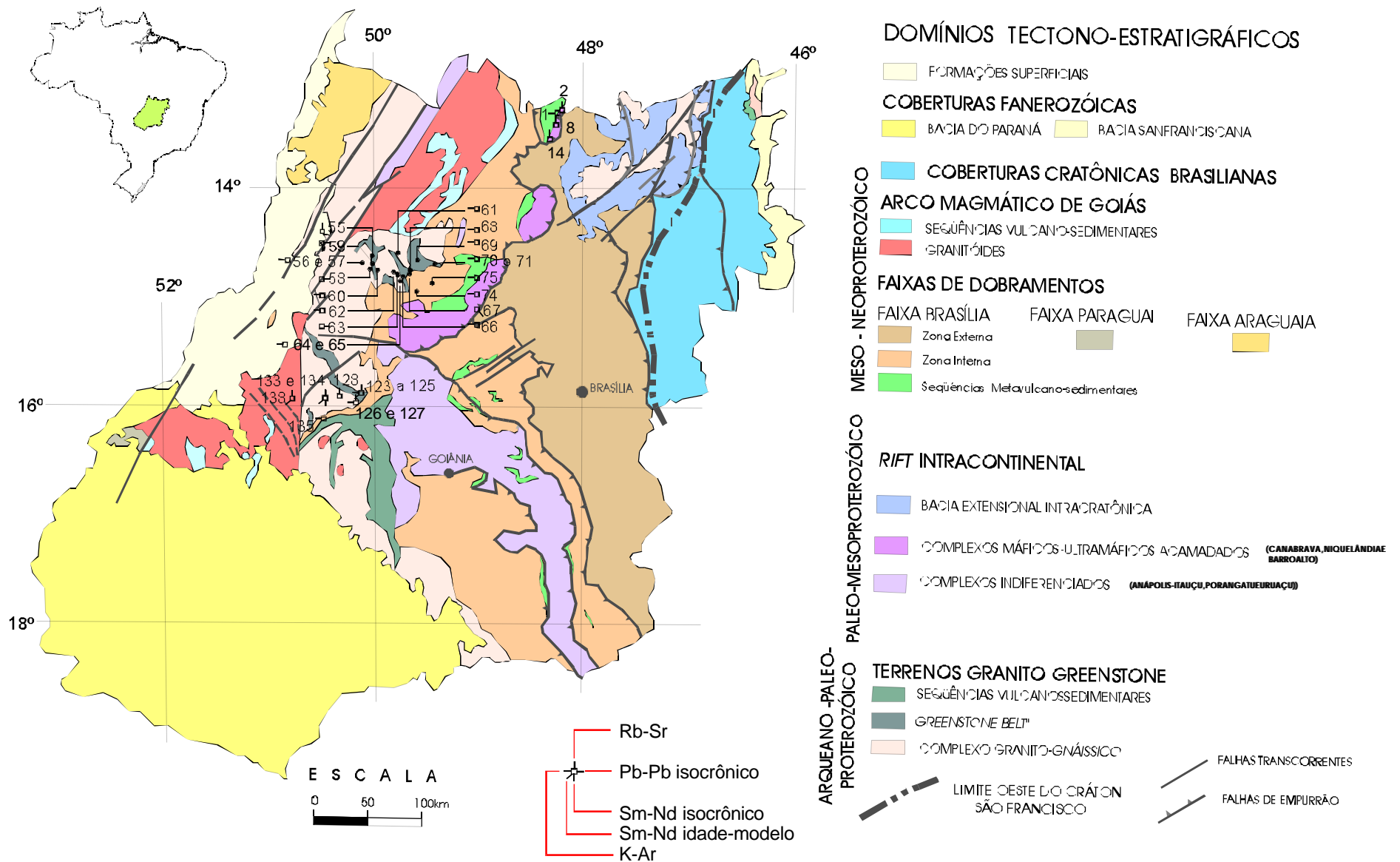


## APÊNDICE 2

---

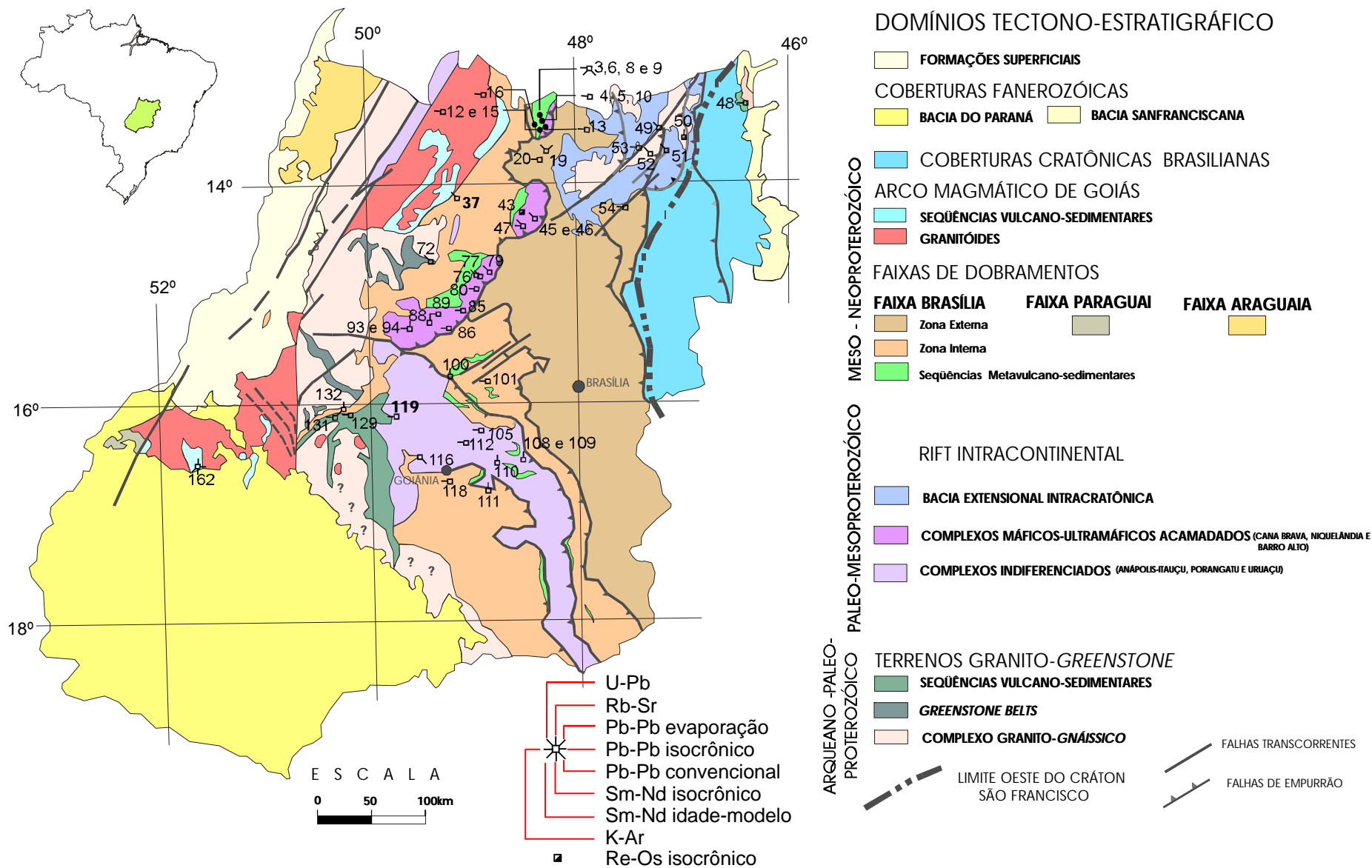
# DADOS GEOCRONOLÓGICOS



Localização dos pontos de unidades arqueanas com determinações geocronológicas.

## ARQUEANO

* Ponto	Unidade	Rocha	Método	Idade (Ma)	Referências Bibliog.	Observação
1	Granito-Gnaiss Indiferenciado	gnaiss	K-Ar	446±19	289	material analisado biotita
2,8,14	Granito-Gnaiss Indiferenciado	gnaiss	Rb-Sr	644±27	289	n=9, Ri 0,7359±0,0026
55	Gr Crixás/Fm R. Vermelho	xisto	Rb-Sr	647±36	260	n=9, Ri 0,71068±0,0065, MSWD=0,04
55	Gr Crixás/Fm R. Vermelho	xisto	Rb-Sr	1.321±790	260	n=4, Ri 0,7054±0,0038, MSWD=66
55	Gr Crixás/Fm R. Vermelho	xisto	Rb-Sr	731±76	260	n=4, Ri 0,71153±0,00074, MSWD=13,6
55	Gr Crixás/Fm R. Vermelho	xisto	Rb-Sr	437±13	260	n=3, Ri 0,7391±0,0003, MSWD=0,1
55	Gr Crixás/Fm R. Vermelho	mármore	Rb-Sr	497±48	260	n=3, Ri 0,7247±0,0013, MSWD=34
56	Gnaiss Granodiorítico	gnaiss	K-Ar	573±23	431	material analisado biotita
57	Gnaiss Granodiorítico	monzodiorito	K-Ar	591±8	431	material analisado biotita
58,59	Gr Crixás/Fm. C. Alagadinho	komatiito	Pb-Pb	2.728±140	44	n=17, MSWD=11,4
58,59	Gr Crixás/Fm. C. Alagadinho	komatiito	Sm-Nd	-	44	n=11, id. isocrônica 2.825±98, MSWD 1,2, ENd varia - 1,65 /+0,85
60	Gnaiss Tonalítico	gnaiss	K-Ar	709±15	431	material analisado biotita
61	Granito-Gnaiss	ganisse	K-Ar	1.121±18	431	material analisado biotita
62	Gnaiss Tonalítico	ganisse	K-Ar	857±13	431	material analisado biotita
63		granito	Pb-Pb	2.481±188	431	n=9
64	Gnaiss Tonalítico	gnaiss	K-Ar	1.010±17	431	material analisado biotita
65	Gnaiss Tonalítico	gnaiss	K-Ar	497±88	431	material analisado biotita
66	Grupo Pilar		K-Ar	557±4	540	material analisado biotita
67	Grupo Pilar	hidrotermalito	Pb-Pb	2.016	540	idade convencional Stacey & Kramers, ind. min
67	Grupo Pilar	hidrotermalito	Pb-Pb	2.035	540	idade convencional Stacey & Kramers, id min
68	Grupo Pilar	anfíbólito	K-Ar	954±48	315	material analisado anfíbólio
68	Grupo Pilar	anfíbólito	K-Ar	829±31	431	material analisado anfíbólio
69	Grupo Pilar	anfíbólito	K-Ar	1.107±12	634	material analisado anfíbólio
70	Grupo Pilar	anfíbólito	K-Ar	703±14	431	material analisado anfíbólio
70	Grupo Pilar	anfíbólito	K-Ar	1.000±21	431	material analisado anfíbólio
74	Granito Gnaiss	gnaiss	K-Ar	594±11	431	material analisado anfíbólio
75	Granito Gnaiss	anfíbólito	K-Ar	1.023±29	431	material analisado anfíbólio
123	Grupo Goiás Velho	gnaiss	Rb-Sr	2.670±142	648	n=3, Ri 0,719±0,0003, MSWD=22,6
123	Grupo Goiás Velho	gnaiss	K-Ar	1.471±48	649	material analisado muscovita
124	Grupo Goiás Velho	anfíbólito	K-Ar	1.829±49	649	material analisado actinolita
124	T. Granito-greenstone (Goiás Velho)	gnaiss	Sm-Nd	3.030	509	
125	Grupo Goiás Velho	actinolita xisto	K-Ar	1.274±33	649	material analisado actinolita
126	Grupo Goiás Velho	gnaiss	Rb-Sr	2.669±122	648	n=4, Ri 0,7063±0,0012, MSWD=44,8
126	Grupo Goiás Velho	gnaiss	K-Ar	461±23	649	material analisado rocha total
127	Granito Gnaiss	gnaiss	K-Ar	1.199±60	315	material analisado rocha total
128	Grupo Goiás Velho	gnaiss	Rb-Sr	1.900	648	n=5, Ri 0,7040±0,0001
133	Granito-gnaisses ind.	gnaiss	Sm-Nd	-	509	idade isocrônica 2.851±180, T <sub>DM</sub> 2.840 a 3.051, E <sub>Nd</sub> - 1,8 a 1,7
134	Granito-gnaisses ind.	gnaiss	Rb-Sr	2.564±140	509	
134	Granito-gnaisses ind.	gnaiss	Sm-Nd	3.270	509	ENd=5,8 (T=2.500)
134	Granito-gnaisses ind.	gnaiss	Sm-Nd	3.030	509	ENd=3,7 (T=2.500)
134	Granito-gnaisses ind.	gnaiss	Sm-Nd	3.060	509	ENd=3,1 (T=2.500)
134	Granito-gnaisses ind.	gnaiss	Sm-Nd	3.500	509	ENd=7,8 (T=2.500)
135	Granito-Gnaiss	anfíbólito	K-Ar	1.647±116	315	material analisado anfíbólio
138	Granito-gnaisses ind.	gnaiss	Rb-Sr	2.601±209	509	n=3, Ri=0,70156±209, MSWD=0,3



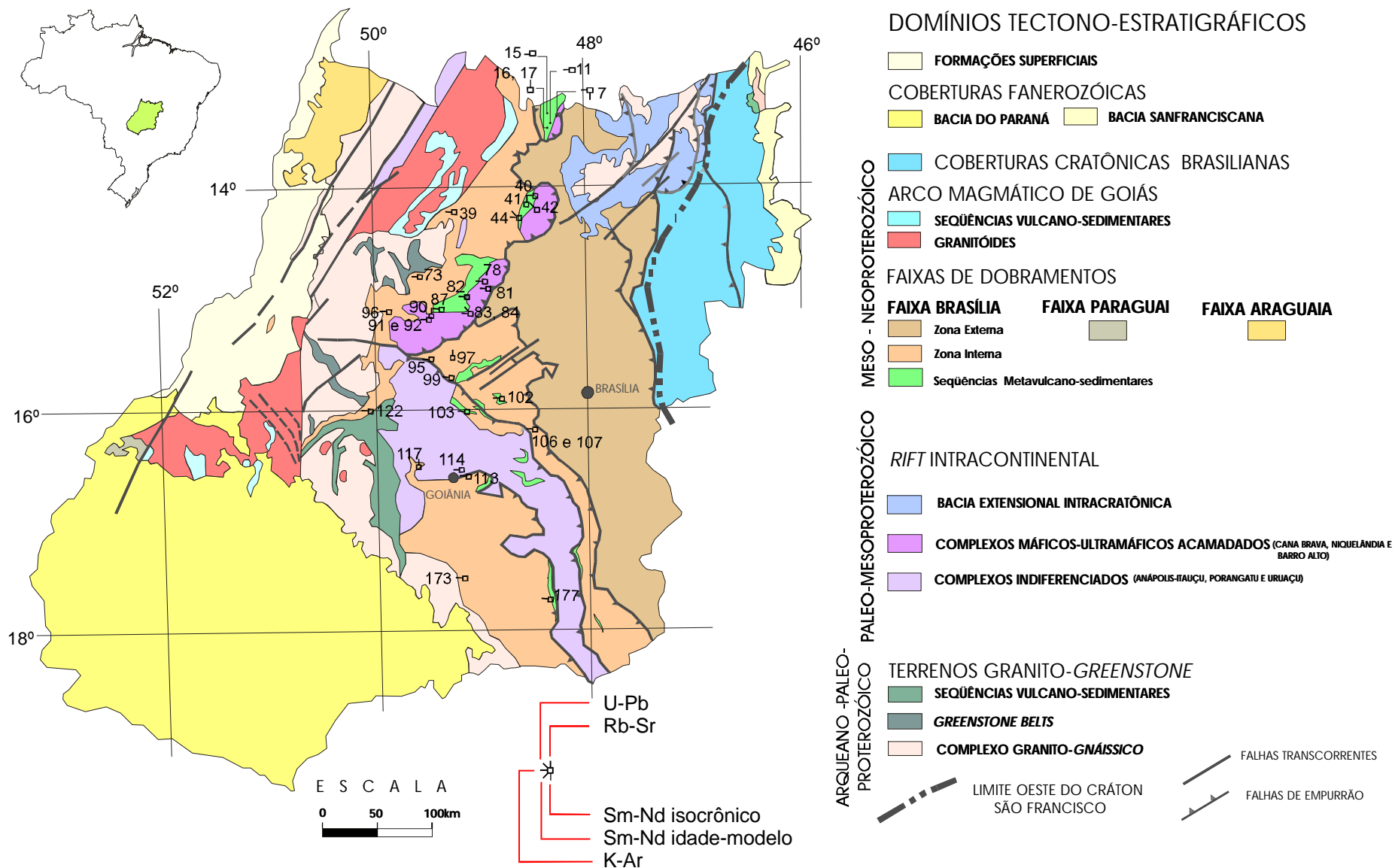
Localização dos pontos de unidades paleoproterozóicas com dterminações geocronológicas.

## PALEOPROTEROZÓICO

* Ponto	Unidade	Rocha	Método	Idade (Ma)	Referências Bibliog.	Observação
3	CMU Cana Brava	gabro	Sm-Nd	2750	167	idade modelo
4	CMU Cana Brava	gnaisse	K-Ar	755±10	289	material analisado biotita
5	CMU Cana Brava	gabro	Sm-Nd	1950±65	282	idade isocrônica, n=4, localização aproximada
6	CMU Cana Brava	metabásica	K-Ar	2100±40	417	material analisado rocha total
6	CMU Cana Brava	metabásica	K-Ar	1970±85	417	material analisado rocha total
6	CMU Cana Brava	metabásica	K-Ar	895±25	417	material analisado rocha total
6	CMU Cana Brava	gabro	K-Ar	480±9	417	material analisado rocha total
9	CMU Cana Brava	gabro	Rb-Sr	1350±35	167	n=4, Ri 0.7168; MSWD=2.7
10	CMU Cana Brava	gabro	K-Ar	520±9	417	material analisado plagioclásio
12	CMU Cana Brava	metagabro	K-Ar	916±92	315	material analisado plagioclásio
12	CMU Cana Brava	gabro	K-Ar	840±300	417	material analisado plagioclásio
12	CMU Cana Brava	anfíbólito	K-Ar	595±8	417	material analisado anfíbólio
13	CMU Cana Brava	norito	K-Ar	3950±200	417	material analisado plagioclásio
15	CMU Cana Brava	granulito	K-Ar	2610±65	417	material analisado plagioclásio
15	CMU Cana Brava	gabro	K-Ar	2450±35	417	material analisado plagioclásio
15	CMU Cana Brava	anfíbólito	K-Ar	2220±100	417	material analisado plagioclásio
19	Granito Serra da Mesa	granito	U-Pb	1574	522	
19	Granito Serra da Mesa	granito	U-Pb	1614	522	
19	Granito Serra da Mesa	granito	Pb-Pb	1578±20	571	evaporação de zircão
20	Granito Serra da Mesa	granito	K-Ar	530±16	315	material analisado biotita, localização aproximada
37	Granito Pau de Mel	granito	U-Pb	2176±12	520	
43	CMU Niquelândia	ultramáfica	Re-Os	2070±70	164	localização aproximada
45	CMU Niquelândia	quartzo diorito	U-Pb	1565±22	241	
45	CMU Niquelândia	quartzo diorito	U-Pb	794±6	241	
45	CMU Niquelândia	quartzo diorito	U-Pb	650	241	
46	CMU Niquelândia	milonito	U-Pb	1565±22	241	
47	CMU Niquelândia	gabro	U-Pb	780-900	164	SHRIMP-II, localização aproximada
47	CMU Niquelândia	gabro	U-Pb	1000-1400	164	SHRIMP-II, localização aproximada
47	CMU Niquelândia	gabro	U-Pb	1600-1880	164	SHRIMP-II, localização aproximada
47	CMU Niquelândia	gabro	K-Ar	3168±37	395	material analisado plagioclásio
47	CMU Niquelândia	gabro	K-Ar	3082±85	395	material analisado plagioclásio
47	CMU Niquelândia	gabro	K-Ar	2342±83	395	material analisado plagioclásio
47	CMU Niquelândia	gabro	K-Ar	682±10	395	material analisado biotita
47	CMU Niquelândia	gabro	K-Ar	1788±249	395	material analisado plagioclásio
47	CMU Niquelândia	anortosito	K-Ar	1725±137	395	material analisado plagioclásio
47	CMU Niquelândia	anortosito	K-Ar	1475±162	395	material analisado plagioclásio
47	CMU Niquelândia	anortosito	K-Ar	899±108	395	material analisado plagioclásio
48	SMVS São Domingos	metabásica	K-Ar	2042±143	315	material analisado anfíbólio
49	Granito Sucuri	granito	U-Pb	1767±10	522	

50	Granito Pedra Branca	granito	Rb-Sr	1.405±21	405	n=5, Ri 0,7005±0,00631; MSWD=1,28
50	Granito Pedra Branca	granito	Rb-Sr	1.781±197	112	n=4, Ri 0,7178±0,0374; MSWD=41
50	Granito Pedra Branca	granito	Rb-Sr	1.577±75	112	fácies tardia, n=6, Ri 0,7139±0,0196; MSWD=7,5
51	Grupo Araí	riolito	U-Pb	1.771±2	522	Intercepto inferior da concórdia 245
52	Granito Soledade	granito	U-Pb	1.769±2	522	
53	Gr. SubProv. Paraná	granito	K-Ar	498±15	315	material analisado biotita, localização aproximada
54	Grupo Araí	filito	K-Ar	584±18	315	material analisado rocha total, localização aproximada
72	Dior. Posselândia	diorito	U-Pb	2.146±2	329	localização aproximada
79	CMU Barro Alto	diorito	U-Pb	1.729±21	630	idade de intrusão, intercepto inferior 782±2
79	CMU Barro Alto	gabro	U-Pb	1.280±13	630	idade de intrusão, intercepto inferior 771±22
79	CMU Barro Alto	granulito/milonito	U-Pb	780±10	630	análise concordante
80	CMU Barro Alto	gabro	K-Ar	2.450±154	612	material analisado plagioclásio
84	Peg. intrus. CMU Barro Alto	pegmatito	K-Ar	885±27	315	material analisado muscovita, localização aproximada
85	CMU Barro Alto	gabro	K-Ar	1.173±76	612	material analisado biotita
88	CMU Barro Alto	granulito	Rb-Sr	1.266±17	275	n=7, Ri 0,73473±0,00051; MSWD=0,5
89	CMU Barro Alto	anfíbólito	K-Ar	1.092±47	612	material analisado anfibólio
89	CMU Barro Alto	anfíbólito	K-Ar	1.001±53	612	material analisado anfibólio
93	CMU Barro Alto	granulito	Rb-Sr	727±15	275	n=5, Ri 0,71790±0,00007; MSWD=5,23
94	CMU Barro Alto	enderbítio	K-Ar	3700±54	612	material analisado plagioclásio
94	CMU Barro Alto	enderbítio	K-Ar	710±11	612	material analisado biotita
94	CMU Barro Alto	enderbítio	K-Ar	3867±34	612	
100	Ass. Ortogn Migmatítica	granito	Rb-Sr	2.000±70	633	idade migmatização, n=4, Ri=0,7007±0,0023
101	Assoc. Ortognáissica Migmatítica	gnaisse	K-Ar	805±13	395	material analisado biotita
105	Comp. Anápolis-Itauçu	gnaisse	K-Ar	608±30	315	material analisado biotita
108	Ass. Ortogn Migmatítica	granodiorito	Rb-Sr	1.300±100	633	n=4, Ri=0,7105±0,0011
109	Ass. Ortogn Migmatítica	granodiorito	Rb-Sr	1.300±130	633	n=3, Ri=0,712±0,001
110	Ass. Ortogn Migmatítica	Kondalito	Rb-Sr	970±24	633	n=5, Ri=0,710±0,001
111	Ass. Ortogn Migmatítica	granito	Rb-Sr	993±46	633	n=3, Ri=0,712±0,002
116	Comp. Anicuns-Itaberaí	calcário	Pb-Pb	795±46	395	Idade convencional
118	Comp. Anápolis-Itauçu	gnaisse	K-Ar	643±20	315	material analisado biotita, localização aproximada
118	Comp. Anápolis-Itauçu	xisto	K-Ar	714±65	315	material analisado muscovita, localização aproximada
119	Comp. Anápolis-Itauçu	migmatito	K-Ar	622±19	315	material analisado biotita, localização aproximada
129	SVS Anicuns-Itaberaí	xisto	K-Ar	585±29	315	material analisado muscovita, localização aproximada
131	SVS Anicuns-Itaberaí	anfíbólito	K-Ar	604±30	315	material analisado anfibólio, localização aproximada
132	SMVS Anicuns-Itaberaí	metavulcânica félsica	Rb-Sr	1.978±55	509	n=7, Ri=0,70232±0,00031
132	SMVS Anicuns-Itaberaí	metavulcânica félsica	Rb-Sr	1.582±101	509	n=4, Ri=0,70527±0,00033
132	SMVS Anicuns-Itaberaí	metavulcânica félsica	Sm-Nd	2210	509	Idade-modelo
132	SMVS Anicuns-Itaberaí	metavulcânica félsica	Sm-Nd	2230	509	Idade-modelo
162	Gn Ribeirão	gnaisse	Sm-Nd	820±220	519	n=9, MSWD 0,77, E <sub>Nd</sub> de -18 a -11, T <sub>DM</sub> de 2.82 a 3.78
162	Gn Ribeirão	gnaisse	Rb-Sr	1.816±110	519	n=11, Ri 0,7057±0,0012; MSWD=23
163	Gn Ribeirão	gnaisse	Pb-Pb	1.881±230	519	n=9, MSWD=2.9; m1=8.1

\* Esta numeração corresponde ao número da Base de Dados Geocronológicos da CPRM (GEOCRON).



Localização dos pontos de unidades mesoproterozóicas com determinações geocronológicas.

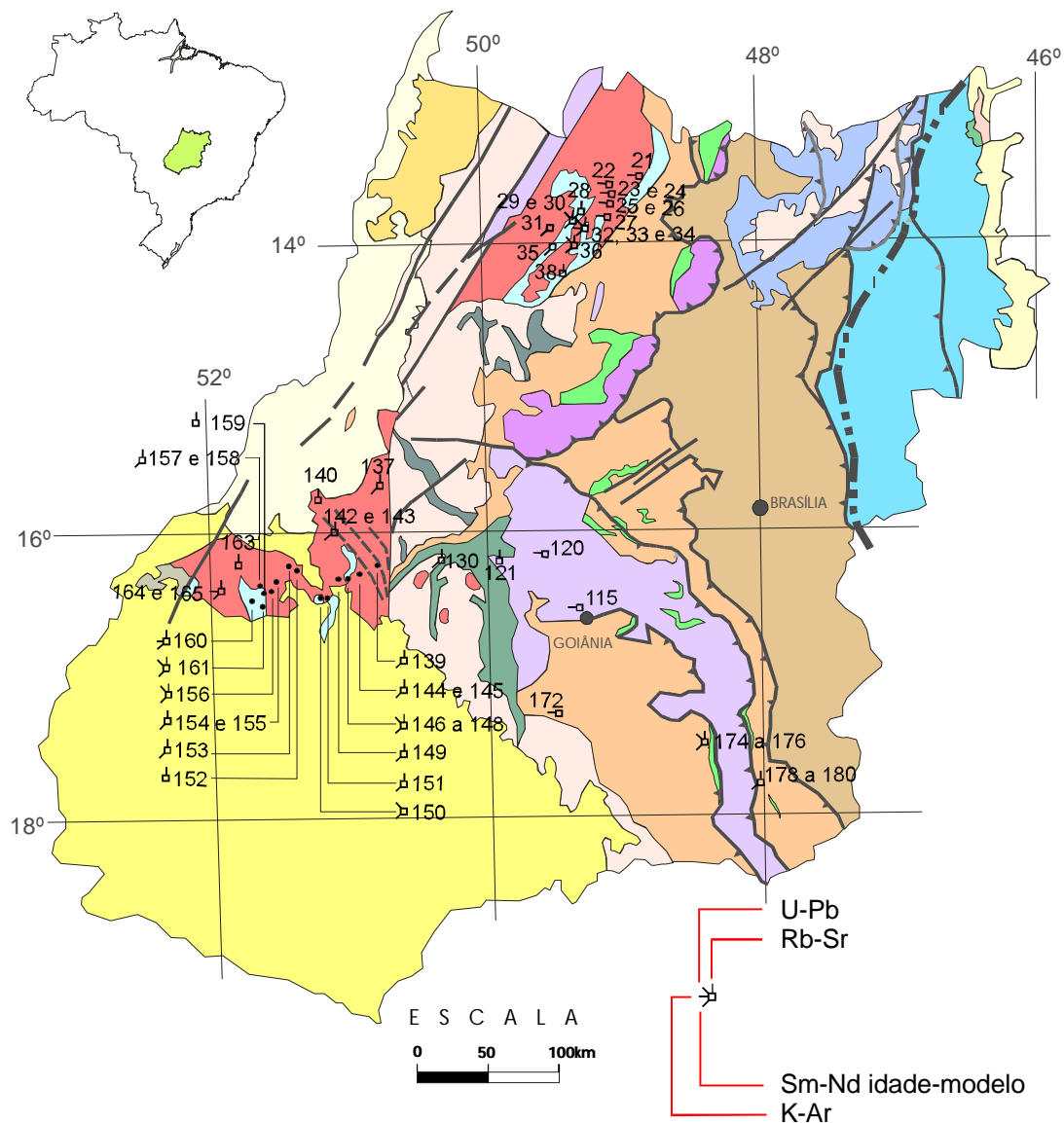
## MESOPROTEROZÓICO

* Ponto	Unidade	Rocha	Método	Idade (Ma)	Referências Bibliog.	Observação
7	CMU Cana Brava	norito	K-Ar	1.866±151	298	material analisado plagioclásio
7	CMU Cana Brava	gabro	K-Ar	1.863±30	289	material analisado plagioclásio
7	CMU Cana Brava	gabro	Sm-Nd	1.088±18	282	idade isocrônica, localização aproximada
11	SVS Palmeirópolis	gnaisse	K-Ar	583±10	289	material analisado muscovita
15	CMU Cana Brava	granulito	K-Ar	2.610±65	417	material analisado plagioclásio
15	CMU Cana Brava	gabro	K-Ar	2.450±35	417	material analisado plagioclásio
15	CMU Cana Brava	anfíbólito	K-Ar	2.220±100	417	material analisado plagioclásio
16, 17	CMU Cana Brava	gnaisse	Rb-Sr	1.157±50	289	n=8, Ri 0,704±0,002
39	Grupo S. Mesa	xisto	K-Ar	560±28	315	material analisado muscovita
40	CMU Niquelândia	hornblendito	K-Ar	733±52	315	localização aproximada
41	SVS Indaianópolis	gnaisse	Rb-Sr	755±34	395	Recalc., id. met., n=3, Ri 0,7064±0,0032; MSWD=0,08
42	CMU Niquelândia	milonito	U-Pb	778±10	241	
42	CMU Niquelândia	gabro	K-Ar	870±32	395	material analisado plagioclásio, localização aproximada
42	CMU Niquelândia	gabro	K-Ar	868±80	395	material analisado plagioclásio, localização aproximada
42	CMU Niquelândia	gabro	K-Ar	684±12	395	material analisado biotita, localização aproximada
42	CMU Niquelândia	anortosito	K-Ar	726±31	395	material analisado plagioclásio, localização aproximada
44	CMU Niquelândia	anortosito	U-Pb	720	241	
44	CMU Niquelândia	anortosito	U-Pb	1.583±25	241	
44	CMU Niquelândia	anortosito	U-Pb	777±10	241	
73	Grupo S. Mesa	xisto	K-Ar	1.217±86	315	material analisado rocha total
78	CMU Barro Alto	pegmatito	K-Ar	779±35	612	material analisado muscovita
81	CMU Barro Alto	anortosito	K-Ar	1.213±517	612	material analisado plagioclásio
81	CMU Barro Alto	anortosito	K-Ar	1.168±55	612	material analisado anfibólio
82	SVS Juscelândia	anfíbólito	K-Ar	1.118±39	612	material analisado anfibólio
82	SVS Juscelândia	anfíbólito	K-Ar	1.432±102	612	material analisado anfibólio
82	SVS Juscelândia	gnaisse	K-Ar	775±40	612	material analisado biotita
82	SVS Juscelândia	anfíbólito	K-Ar	3.968±101	612	material analisado anfibólio
82	SVS Juscelândia	anfíbólito	K-Ar	4010±36	612	material analisado anfibólio
83	SVS Juscelândia	gnaisse	U-Pb	1267±9	630	magmatismo da Seq. Juscelândia?
83	SVS Juscelândia	gnaisse	U-Pb	785±8	630	idade de metamorfismo
87	SVS Juscelândia	xisto	K-Ar	6.50±151	612	material analisado muscovita
90	SVS Juscelândia	gnaisse	Rb-Sr	1.330±67	275	n=6, Ri 0,70819±0,00274, MSWD=2,1



91	SVS Juscelândia	anfíbolito	K-Ar	2.897±145	315	material analisado anfíbólio
92	SVS Juscelândia	anfíbolito	K-Ar	3.067±216	315	material analisado anfíbólio
95	Grupo Araxá	gnaisse	K-Ar	627±31	315	material analisado biotita
96	Grupo S. Mesa	xisto	K-Ar	502±20	315	material analisado muscovita
97	Grupo Araxá	granito	Rb-Sr	2.160±130	633	idade migmatização
99	Grupo Araxá	xisto	K-Ar	531±26	315	material analisado biotita
102	Grupo Araxá	xisto	K-Ar	714±22	315	material analisado biotita
103	Grupo Araxá	xisto	K-Ar	580±24	315	material analisado muscovita
106	Grupo Canastra	xisto	K-Ar	580±18	315	material analisado muscovita
107	Grupo Canastra	xisto	K-Ar	662±20	315	material analisado biotita
114	Grupo Araxá	metabásica	K-Ar	1.303±91	315	material analisado plagioclásio
117	Grupo Araxá	xisto	Rb-Sr	800±30	633	n=4, Ri=0,7065±0,0007
118	Grupo Araxá	metabásica	K-Ar	894±45	315	material analisado plagioclásio
122	Grupo S. Mesa	filito	K-Ar	544±27	315	material analisado rocha total
173	Grupo Araxá	xisto	K-Ar	800±24	315	material analisado biotita
177	SVS Maratá	gnaisse	K-Ar	722±22	315	material analisado biotita

\* Esta numeração corresponde ao número da Base de Dados Geocronológicos da CPRM (GEOCRON).



## DOMÍNIOS TECTONO-ESTRATIGRÁFICOS

FORMAÇÕES SUPERFICIAIS

COBERTURAS FANEROZÓICAS

BACIA DO PARANÁ

BACIA SANFRANCISCANA

COBERTURAS CRATÔNICAS BRASILIANAS

ARCO MAGMÁTICO DE GOIÁS

SEQÜÊNCIAS VULCANO-SEDIMENTARES

GRANITÓIDES

FAIXAS DE DOBRAMENTOS

FAIXA BRASÍLIA

FAIXA PARAGUAI

FAIXA ARAGUAIA

Zona Externa

Zona Interna

Seqüências Metavulcano-sedimentares

RIFT INTRACONTINENTAL

BACIA EXTENSIONAL INTRACRATÔNICA

COMPLEXOS MÁFICOS-ULTRAMÁFICOS ACAMADADOS (CANA BRAVA, NIQUELÂNDIA E BARRO ALTO)

COMPLEXOS INDIFERENCIADOS (ANÁPOLIS-ITAUÇU, PORANGATU E URUAIÇU)

TERRENOS GRANITO-GREENSTONE

SEQÜÊNCIAS VULCANO-SEDIMENTARES

GREENSTONE BELTS

COMPLEXO GRANITO-GNÁISSICO

LIMITE OESTE DO CRATON  
SÃO FRANCISCO

FALHAS TRANSCORRENTES

FALHAS DE EMPURRÃO

ARQUEANO-PALEO-  
PROTEROZOICO

PALEO-MESO-  
PROTEROZOICO

MESO-  
NEOPROTEROZOICO

Localização dos pontos de unidades neoproterozóicas com determinações geocronológicas.

## NEOPROTEROZÓICO

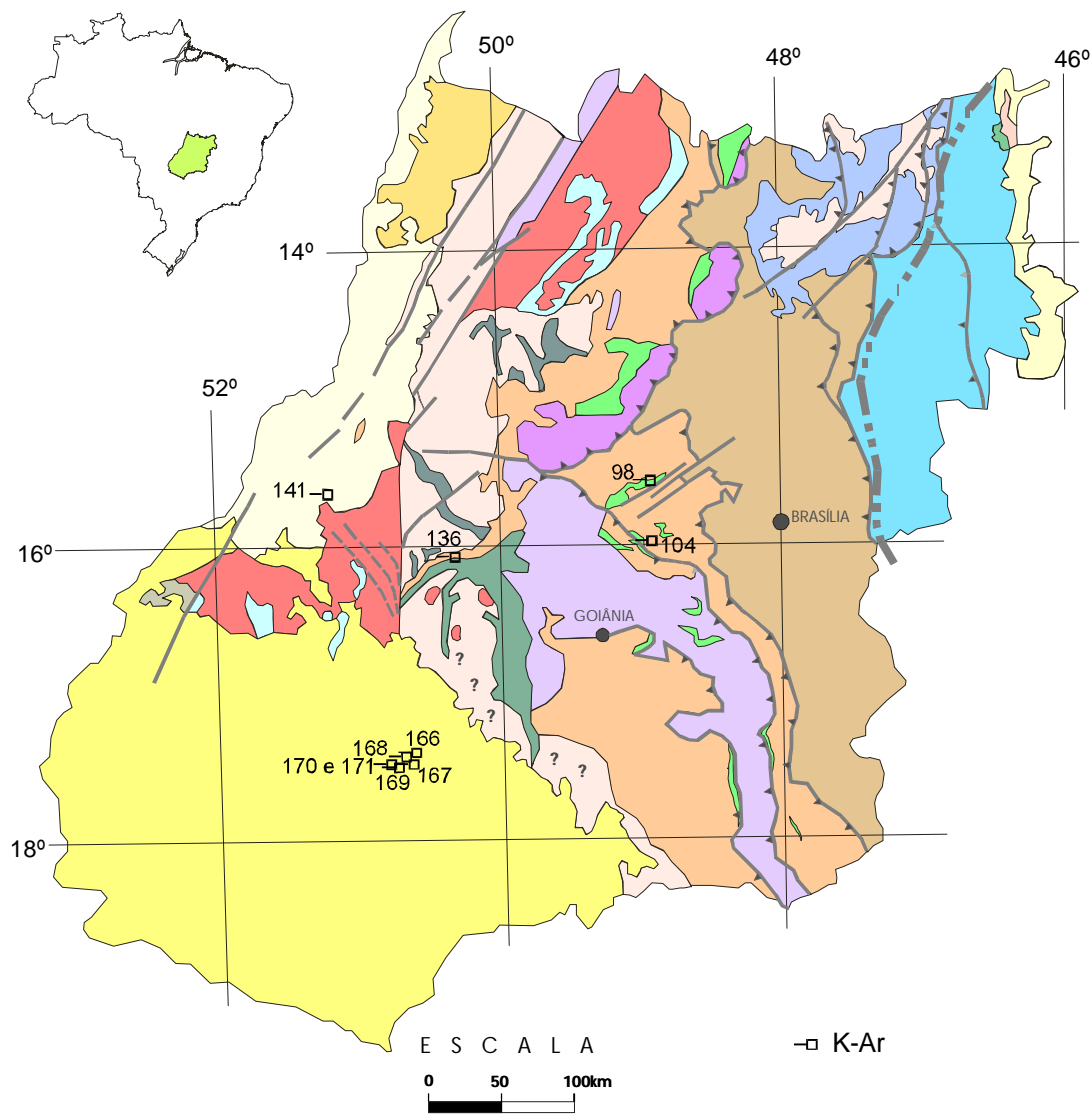
* Ponto	Unidade	Rocha	Método	Idade (Ma)	Referências Bibliog.	Observação
21	Ortognaisses do Oeste de Goiás	gnaisse	K-Ar	483±15	315	Material analisado biotita
22	Ortognaisses do Oeste de Goiás	gnaisse	K-Ar	533±16	315	Material analisado biotita
23	SVS Mara Rosa	pegmatito	K-Ar	478±15	315	Material analisado muscovita
24	SVS Mara Rosa	anfíbolito	K-Ar	2.300±115	315	Material analisado anfíbólio
25	Ortognaisses do Oeste de Goiás	gnaisse	K-Ar	517±16	315	Material analisado biotita
25	SVS Mara Rosa	anfíbolito	K-Ar	730±37	315	Material analisado anfíbólio
26	Ortognaisses do Oeste de Goiás		K-Ar	651±8	395	material analisado biotita
28	Suíte Gabro-Diorítica Amaralina	diorito	Sm-Nd	1000	520	T=630, E <sub>Nd</sub> =1,9
28	Suíte Gabro-Diorítica Amaralina	diorito	Rb-Sr	4.96±160	663	n=4, Ri 0,70487±0,00039; MSWD=4,4
29	Suíte Gabro-Diorítica Amaralina	diorito	U-Pb	630±3	520	
30	SVS Mara Rosa	xisto	Sm-Nd	1200	520	T=630, E <sub>Nd</sub> =2
30	SVS Mara Rosa	metassedimento	Rb-Sr	5.59±162	663	n=4, Ri=0,70453±0,00057; MSWD=0,88
31	Intrusivo na SVS Mara Rosa	granito	Sm-Nd	1200	520	E <sub>Nd</sub> = -21 (T=600 Ma)
32	SVS Mara Rosa	metavulcânica	U-Pb	632±4	520	
32	SVS Mara Rosa	metavulcânica	Sm-Nd	1000	520	T=630, E <sub>Nd</sub> =3,7
32	SVS Mara Rosa	metavulcânica	U-Pb	862±8	520	
33	Ortog. Oeste Goiás (Mara Rosa)	gnaisse	Rb-Sr	6.03±136	663	n=4, Ri=0,70356±0,00045; MSWD=5.1
34	SVS Mara Rosa	gnaisse	K-Ar	1.534±82	395	material analisado anfíbólio
35	Intrusivo na SVS Mara Rosa	granito	Sm-Nd	1000	520	E <sub>Nd</sub> =1,5 (T=600Ma)
36	Ortog. Oeste Goiás (Mara Rosa)	gnaisse	U-Pb	8.56±13	520	
36	Ortognaisses do Oeste de Goiás	gnaisse	Sm-Nd	1000	520	E <sub>Nd</sub> =4,6 (T=600Ma)
36	Ortog. Oeste Goiás (Mara Rosa)	gnaisse	Rb-Sr	6.00±136	663	n=7, Ri 0,70322±0,00011; MSWD=0,9
38	SVS Mara Rosa	diorito	Rb-Sr	534±16	561	n=4, Ri=0,70415±0,00004
38	SVS Mara Rosa	xisto	Rb-Sr	532±1	561	Rocha metavulcânica, n=4, Ri=0,70578±0,00001
38	SVS Mara Rosa	xisto	Rb-Sr	524±72	561	Rocha metavulcânica, n=3, Ri=0,70575±0,00064
38	SVS Mara Rosa	xisto	Rb-Sr	561±9	561	Rocha metavulcânica, n=7, Ri=0,70414±0,00005
115	Granito Tipo Aragoiânia	granito	K-Ar	587±19	315	material analisado muscovita
120	Suíte Gabro/dior. Sta Bárbara	anfíbolito	K-Ar	6.53±32	315	mateiral analisado biotita
121	Suíte Am. do Brasil		Rb-Sr	6.37±19	671	n=9, Ri 0,7153; MSWD=9,95
130	Ortog. Oeste Goiás (Sanclerlândia)	gnaisse	Sm-Nd	900	528	T=950, E <sub>Nd</sub> =6,3
130	Ortog. Oeste Goiás (Sanclerlândia)	gnaisse	Sm-Nd	1080	528	T=950, E <sub>Nd</sub> =4,4
130	Ortog. Oeste Goiás (Sanclerlândia)	gnaisse	Sm-Nd	1020	528	T=950, E <sub>Nd</sub> =5,1
130	Ortog. Oeste Goiás (Sanclerlândia)	gnaisse	Rb-Sr	9.40±150	523	n=8, Ri 0,7025±0,0004; MSWD=1,5
137	Suíte Granítica Serra Negra	granito	Rb-Sr	759±62	509	

137	Suíte Granítica Serra Negra	granito	Sm-Nd	1.980	509	$E_{Nd} = -16$ (T=760)
137	Suíte Granítica Serra Negra	granito	Sm-Nd	2.290	509	$E_{Nd} = -16,9$ (T=760)
137	Suíte Granítica Serra Negra	granito	Sm-Nd	2.210	509	$E_{Nd} = -18,8$ (T=760)
137	Suíte Granítica Serra Negra	granito	Sm-Nd	2.140	509	$E_{Nd} = -18,6$ (T=760)
139	SVS Jaupaci	riolito	Sm-Nd	1.130	528	T=760, $E_{Nd} = 0.2$
139	SVS Jaupaci	riolito	Sm-Nd	930	528	T=760, $E_{Nd} = 2.4$
139	SVS Jaupaci	riolito	Rb-Sr	608±48	523	n=7, Ri 0,7032±0,0009; MSWD=5,4
140	Ortogn. Oeste Goiás (Santa Fé)	gnaisse	Rb-Sr	467±10	75	n=7, Ri 0,705±0,001; MSWD=1,3
142	Granito Serra Impertinente	granito	Rb-Sr	576±18	523	Fácies porfírica, n=5, 0,7032±0,0012; MSWD=1,7
142	Granito Serra Impertinente	granito	Sm-Nd	2.650	531	$E_{Nd} = -19$ (T=550), fácies equigranular
142	Granito Serra Impertinente	granito	Sm-Nd	2.130	531	$E_{Nd} = -16$ (T=550), fácies equigranular
143	Granito Serra Impertinente	granito	Rb-Sr	485±18	523	Fácies equigranular, n=6, Ri 0,7067±0,0013; MSWD=1,9
143	Granito Serra Impertinente	granito	Sm-Nd	1.230	531	$E_{Nd} = -4,6$ (T=550), fácies equigranular
143	Granito Serra Impertinente	granito	Sm-Nd	920	531	$E_{Nd} = 11$ (T=550), fácies equigranular
143	Granito Serra Impertinente	granodiorito	Rb-Sr	688±135	568	n=7, Ri 0,7047±0,0007; MSWD=0,9
144	Granito Israelândia	granito	Sm-Nd	920	524	$E_{Nd} = 2,3$ (T=500)
144	Granito Israelândia	granito	Sm-Nd	840	524	$E_{Nd} = 3$ (T=550)
144	Granito Israelândia	granito	Sm-Nd	3.390	524	$E_{Nd} = -1,1$ (T=550)
144	Granito Israelândia	granito	Rb-Sr	554±20	523	n=10, Ri 0,7045±0,0009, MSWD=2,5
145	Granito Israelândia	granito	Rb-Sr	505±38	523	n=6, Ri 0,707±0,001
146	Ortogn. Oeste Goiás (Matrinxã)	gnaisse	Sm-Nd	880	524	T=900, $E_{Nd} = -2,8$
146	Ortogn. Oeste Goiás (Matrinxã)	gnaisse	Sm-Nd	850	524	T=900, $E_{Nd} = -3,1$
146	Ortogn. Oeste Goiás (Matrinxã)	gnaisse	Sm-Nd	1.030	524	T=900, $E_{Nd} = 0,7$
146	Ortogn. Oeste Goiás (Matrinxã)	gnaisse	Rb-Sr	895±290	523	n=8, Ri 0,7026±0,0007; MSWD=12
147	SVS Jaupaci	riolito	Sm-Nd	920	528	T=760, $E_{Nd} = 4,7$
147	SVS Jaupaci	riolito	Sm-Nd	970	528	T=760, $E_{Nd} = -3,8$
147	SVS Jaupaci	riolito	Rb-Sr	587±45	534	n=8, Ri 0,7052±0,0007; MSWD=3,4
147	SVS Jaupaci	riolito	U-Pb	764±14	534	
148	SVS Jaupaci	granito	Sm-Nd	950	528	T=760, $E_{Nd} = 3,2$
148	SVS Jaupaci	granito	Sm-Nd	940	528	T=760, $E_{Nd} = 3,5$
148	SVS Jaupaci	subvulcânica	Rb-Sr	642±19	523	n=7, Ri 0,7032±0,0002; MSWD=1,7
149	Granito Iporá	granito	Sm-Nd	1.950	524	$E_{Nd} = -1,4$ (T=500)
149	Granito Iporá	granito	Sm-Nd	1.000	524	$E_{Nd} = -0,2$ (T=500)
149	Granito Iporá	granito	Sm-Nd	1.230	524	$E_{Nd} = -3,3$ (T=500)
149	Granito Iporá	granito	Sm-Nd	1.030	524	$E_{Nd} = 0,7$ (T=500)
149	Granito Iporá	granito	Rb-Sr	490±24	523	n=6, Ri 0,7057±0,0003; MSWD=6,2
149	Granito Iporá	granito	Sm-Nd	890	531	$E_{Nd} = 2,1$ (T=500)
150	Ortogn. Oeste Goiás (Iporá)	granodiorito	Rb-Sr	729±120	568	n=3, Ri 0,7043±0,0008; MSWD=3,3

150	Ortog. Oeste Goiás (Iporá)	ortognaisse	Sm-Nd	1.129	568	T=680, E <sub>Nd</sub> =0,63
150	Ortog. Oeste Goiás (Iporá)	ortognaisse	Sm-Nd	1.131	568	T=680, E <sub>Nd</sub> =0,97
151	SVS Iporá	dacito	U-Pb	636±6	568	
151	SVS Iporá	dacito	U-Pb	597±5	568	
151	SVS Iporá	riolito	Sm-Nd	765	568	T=636, E <sub>Nd</sub> =5,3
151	SVS Iporá	dacito	Sm-Nd	1.013	568	T=636, E <sub>Nd</sub> =1,83
152	Suite Gabro-diorítica	diorito	Rb-Sr	651±123	568	n=6, Ri 0.7029±0,0001; MSWD=2,9
153	Ortog. Oeste Goiás (Iporá)	ortognaisse	Sm-Nd	1.080	568	T=680, E <sub>Nd</sub> =0,37
153	Ortog. Oeste Goiás (Iporá)	ortognaisse	Sm-Nd	1.015	568	T=680, E <sub>Nd</sub> =1,85
153	Ortog. Oeste Goiás (Iporá)	ortognaisse	Rb-Sr	688±135	568	n=7, Ri=0,7047±0,0007; MSWD=0,9
154	Granito Caiapó	granito	Sm-Nd	1.240	524	E <sub>Nd</sub> -3,4 (T=800)
154	Granito Caiapó	granito	Sm-Nd	930	524	E <sub>Nd</sub> 1,5 (T=800)
154	Granito Caiapó	granito	Sm-Nd	1.180	524	E <sub>Nd</sub> -3,2 (T=800)
154	Granito Caiapó	granito	Sm-Nd	1.240	524	E <sub>Nd</sub> -4,2 (T=800)
154	Granito Caiapó	granito	Sm-Nd	1.000	524	E <sub>Nd</sub> -0,3 (T=800)
154	Granito Caiapó	granito	Sm-Nd	1.110	524	E <sub>Nd</sub> -2,1 (T=800)
156	Ortog. Oeste Goiás (Arenópolis)	gnaisse	Sm-Nd	1.160	528	T=900, E <sub>Nd</sub> =1,9
156	Ortog. Oeste Goiás (Arenópolis)	gnaisse	Sm-Nd	1.170	528	T=900, E <sub>Nd</sub> =2,1
156	Ortog. Oeste Goiás (Arenópolis)	gnaisse	Sm-Nd	1.070	528	T=900, E <sub>Nd</sub> =3,2
156	Ortog. Oeste Goiás (Arenópolis)	gnaisse	Rb-Sr	818±57	523	n=11, Ri 0,7042±0,0005; MSWD=0,3
156	Ortog. Oeste Goiás (Arenópolis)	gnaisse	U-Pb	899±7	534	
156	Ortog. Oeste Goiás (Arenópolis)	gnaisse	U-Pb	637	534	
157	Granito Serra do Iran	granito	Sm-Nd	930	524	E <sub>Nd</sub> 2 (T=600)
157	Granito Serra do Iran	granito	Sm-Nd	980	524	E <sub>Nd</sub> 0,7 (T=600)
157	Granito Serra do Iran	granito	Sm-Nd	1.400	524	E <sub>Nd</sub> -2,7 (T=600)
157	Granito Serra do Iran	granito	Sm-Nd	970	524	E <sub>Nd</sub> 1,2 (T=600)
157	Granito Serra do Iran	granito	Sm-Nd	1.000	524	E <sub>Nd</sub> 1 (T=600)
157	Granito Serra do Iran	granito	Rb-Sr	588±19	523	n=12, Ri 0,7044±0,002; MSWD=8,6
158	Granito Serra do Iran	gabro	Rb-Sr	622±350	523	n=4, Ri 0,7039±0,0023; MSWD=7
159	Granito Serra do Tatu	gnaisse	Rb-Sr	692±110	532	Idade preliminar, n=4, 0,7062±0,0014; MSWD=6,63
160	SVS Arenópolis	anfibolito	K-Ar	859±43	315	material analisado anfibólio
160	Microgr. Alc. intrusivos SVS Arenópolis	granito	Sm-Nd	740	524	T=900, E <sub>Nd</sub> =6,3
160	Microgr. Alc. intrusivos SVS Arenópolis	granito	Rb-Sr	564±15	523	n=5, Ri 0.7094±0.0042, MSWD=2.1
161	SVS Arenópolis	dacito	Sm-Nd	1.370	528	T=900, E <sub>Nd</sub> =6,9
161	SVS Arenópolis	dacito	Sm-Nd	1.400	528	T=900, E <sub>Nd</sub> =2,5
161	SVS Arenópolis	dacito	Sm-Nd	1.140	528	T=900, E <sub>Nd</sub> =4,8
161	SVS Arenópolis	dacito	Sm-Nd	940	528	T=900, E <sub>Nd</sub> =5,8
161	SVS Arenópolis	riolito	Rb-Sr	933±60	523	n=8, Ri 0,7035±0,0003; MSWD=6,9

161	SVS Arenópolis	riolito	U-Pb	929±8	534	
161	SVS Arenópolis	riolito	U-Pb	600	534	
164	Granito Serra Negra	granito	Sm-Nd	1.310	524	E <sub>Nd</sub> =3 (T=500)
164	Granito Serra Negra	granito	Sm-Nd	1.580	524	E <sub>Nd</sub> =3,4 (T=500)
164	Granito Serra Negra	granito	Sm-Nd	1.870	524	E <sub>Nd</sub> =4 (T=500)
164	Granito Serra Negra	granito	Rb-Sr	508±24	523	n=5, Ri 0,7057±0,003, MSWD=6,2
165	Granito Serra Negra	granodiorito	K-Ar	488±15	315	material analisado biotita
172	Granito Tipo Aragoiânia	pegmatito	K-Ar	756±23	315	material analisado muscovita
174	Granito Tipo Ipameri	granito	Rb-Sr	829±82	512	n=4, Ri 0,706±0,016; MSWD=2,5
174	Granito Tipo Ipameri	granito	Sm-Nd	1.727	512	T=800 E <sub>Nd</sub> =-6,1
174	Granito Tipo Ipameri	granito	Sm-Nd	1.965	512	T=800 E <sub>Nd</sub> =-6,5
175	Granito Tipo Ipameri	granito	U-Pb	1.984	512	Zircão prisma curto
175	Granito Tipo Ipameri	granito	U-Pb	794±10	512	Zircão agulhiforme
175	Granito Tipo Ipameri	granito	U-Pb	1.948	512	Zircão agulhiforme
176	Granito Tipo Ipameri	granito	Rb-Sr	691±30	512	n=5, Ri 0,7337±0,0034; MSWD=2,3
176	Granito Tipo Ipameri	granito	Sm-Nd	2.561	512	T=800 E <sub>Nd</sub> =-9,5
178	Gr. Sesmaria/Tipo Ipameri	granito	Rb-Sr	727±5	634	n=6, Ri 0,7052±0,0003; MSWD=1,2
178	Gr. Sesmaria/Tipo Ipameri	granito	Sm-Nd	1.900	521	
179	Gr. Encruzilhada/Tipo Ipameri	granito	Sm-Nd	1.100	521	
180	Gr. Tambu/Tipo Ipameri	granito	Sm-Nd	1.100	521	
154, 155	Granito Caiapó	granito	Rb-Sr	587±17	523	n=10, Ri 0,7058±0,0003; MSWD=1,4

\* Esta numeração corresponde ao número da Base de Dados Geocronológicos da CPRM (GEOCRON).



### ARCABOUÇO TECTONO-ESTRATIGRÁFICOS

FORMAÇÕES SUPERFICIAIS

COBERTURAS FANEROZÓICAS

BACIA DO PARANÁ

BACIA SANFRANCISCANA

COBERTURAS CRATÔNICAS

ARCO MAGMÁTICO DE GOIÁS

SEQÜÊNCIAS VULCANO-SEDIMENTARES

GRANITÓIDES

FAIXAS DE DOBRAMENTOS

FAIXA BRASÍLIA

FAIXA PARAGUAI

FAIXA ARAGUAIA

Zona Externa

Zona Interna

Seqüências Metavulcano-sedimentares

RIFT INTRACONTINENTAL

BACIA EXTENCIONAL INTRACRATÔNICA

COMPLEXOS MÁFICOS-ULTRAMÁFICOS ACAMADADOS (CANA BRAVA, NIQUELÂNDIA E BARRO ALTO)

COMPLEXOS INDIFERENCIADOS (ANÁPOLIS-ITAUÇU, PORANGATU E URNAÇU)

TERRENOS GRANITO-GREENSTONE

SEQÜÊNCIAS VULCANO-SEDIMENTARES

GREENSTONE BELTS

COMPLEXO GRANITO-GNÁISSICO

FALHAS TRANSCORRENTES

LIMITE OESTE DO CRATON SÃO FRANCISCO

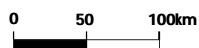
FALHAS DE EMPURRÃO

ARQUEANO -PALEO-  
PROTEROZÓICO

PALEO-MESOPROTEROZÓICO

MESO - NEOPROTEROZÓICO

ESCALA



□ K-Ar

Localização dos pontos de unidades fanerozóicas com determinações geocronológicas.

## FANEROZÓICO

* Ponto	Unidade	Rocha	Método	Idade (Ma)	Referência Bibliog.	Observação
98	Diques Jurássicos	diabásio	K-Ar	178±5	633	material analisado rocha total
104	Diques Jurássicos	diabásio	K-Ar	190	162	material analisado rocha total
136	Diques Jurássicos	diabásio	K-Ar	114±11	162	material analisado rocha total
141	Suite Plutônica Iporá	malignito	K-Ar	83±4	75	material analisado biotita
141	Suite Plutônica Iporá	malignito	K-Ar	88±3	75	material analisado biotita
141	Suite Plutônica Iporá	missourito	K-Ar	85±2	75	material analisado biotita
141	Suite Plutônica Iporá	essexito	K-Ar	74±3	75	material analisado feldspato
141	Suite Plutônica Iporá	lamproíto	K-Ar	85±7	75	material analisado biotita
166	Suite V. Sto Antônio da Barra	basanito	K-Ar	60±4	310	material analisado rocha total
167	Suite V. Sto Antônio da Barra	analcitito	K-Ar	63±5	310	material analisado rocha total
167	Suite V. Sto Antônio da Barra	fonolito	K-Ar	82±4	310	material analisado rocha total
168	Suite V. Sto Antônio da Barra	basanito	K-Ar	88±4	310	material analisado rocha total
169	Suite V. Sto Antônio da Barra	fonolito	K-Ar	84±5	310	material analisado rocha total
170	Suite V. Sto Antônio da Barra	analcitito	K-Ar	27±4	310	material analisado rocha total
171	Suite V. Sto Antônio da Barra	analcitito	K-Ar	39±4	310	material analisado rocha total

\* Esta numeração corresponde ao número da Base de Dados Geocronológicos da CPRM (GEOCRON).